

大阪大学工学部 正員 小松 定夫
広島工業大学 正員 ○中山 隆弘

1. まえがき 一端を固定支持された円柱の波浪応答問題は、ドルフィン等のさらに構造的に複雑な海洋構造物の応答特性を解明するための基本的テーマである。いま、波と円柱との振動数化、波高を直径で無次元化した無次元波高および浅水化によって、円柱の挙動がほぼ決定されることが工学的に実証されるなり、設計上の便易性は大きく向上するものと思われる。本研究は、上述のいわば仮説を実証するために、とりあえず、振動数化と無次元波高の2つのパラメーターの応答特性への影響度を考察したものである。また、波と円柱との相互作用を無視した解析と、抗力項を省略した解析も同時にを行い、解析過程におけるこの種の簡略化の妥当性についても検討した。

2. 逐次積分法による応答解析 本研究では波の進行方向の振動のみを考慮している。さて、円柱に作用する波力が Morison 式で表わせると仮定して波と円柱との相互作用を考えれば、系の運動方程式が非線形方程式になることは周知の通りである。そのため本解析では R.W.Claough¹⁾ の提案する逐次積分法を使用した。基礎式は式(1)通りである。

$$\{M^*\}\{\Delta \ddot{U}\} + [C]\{\Delta U\} + [K]\{\Delta U\} = [\bar{C}_0]\{\Delta(\dot{U} - \ddot{U})\} + [\bar{C}_M]\{\Delta \ddot{U}\} \quad (1)$$

紙面の都合上、各マトリックスの内容の詳細は省略させて頂き、記号の説明だけをしておく。

$[M^*]$: 円柱の質量マトリックスと付加質量マトリックスの和、 $[C]$: 減衰マトリックスで、Rayleigh の研究によれば比例定数 a, b 及び質量マトリックス $[M]$ および剛性マトリックス $[K]$ により、 $a[M] + b[K]$ で表わされる。 $[\bar{C}_0], [\bar{C}_M]$: それぞれ、分布波力を等価節点波力におきかえたときの抗力係数、質量係数に関するマトリックス。 $\{\Delta U\}, \{\Delta \dot{U}\}, \{\Delta \ddot{U}\}$: それぞれ、各節点の変位、速度、加速度の Δt 時間の増分を表わす列ベクトル。 $\{\Delta \ddot{U}\}$: 水粒子加速度の Δt 時間の増分を表わす列ベクトル。

次に、解析上の主な仮定について列挙する。(1) \dot{U}, \ddot{U} は airy の微小振幅浅水波理論式により算出する。(2) 規則波および不規則波を問わず、波は碎けないものとする。(3) 水深方向に対する \dot{U} 及び \ddot{U} の変化率は、円柱の各要素内では一定とする。(4) $(\dot{U} - \ddot{U})$ の3次導関数は、 Δt 時間内では一定とする。(5) $\Delta(\dot{U} - \ddot{U})$ $\dot{U} - \ddot{U}$ の Taylor 展開級数において、 $(\dot{U} - \ddot{U})$ の3次以上の導関数を含む項は省略できるものとする。(6) Δt は系の最高次の固有周期の $1/6$ を基準とする。²⁾ (7) $t = 0$ において $U = \dot{U} = \ddot{U} = 0$ 、また波の初期位相は π とする。(8) 1 次モードに対する減衰定数は 0.05 とする。(9) 計算時間の都合と円柱が等断面であることから、要素数は 2 要素とする。(10) 抗力係数 C_0 、質量係数 C_M はそれぞれ 1.2, 2.0 とする。(11) 水面変動が円柱の挙動に与える影響はないものとする。

3. モデルと波の特性 異なった直径 D を有する 3 種類の円柱を基本にして頂部の集中マスを変化させ、それについて 3 ケースの固有振動特性を手えた。表 1 にそれらの値を示す。表中の 1 次固有振動数 f_s は、空気中ににおける非減衰時の値である。なお、円柱の高さ、板厚はすべてのモデルについて同一で、それそれ 20 m, 20 mm である。次に入力波となる規則波および不規則波の特性を、それぞれ表 2、表 3 に示す。不規則波の特性は、光易³⁾ の提案する波浪スペクトルを用いて発生させた 100 秒間のシミュレーション結果より計算したもので、 V_{10} は水面上の高さ 10 m における風速である。なお円柱を設置する地点における水深 h は、すべて 10 m に統一した。

表 1 モデルの特性

No.	直径 D (m)	1 次固有振動数 f_s (Hz)
1-1	0.5	0.203
1-2	0.5	0.489
1-3	0.5	1.019
2-1	1.0	0.203
2-2	1.0	0.502
2-3	1.0	0.972
3-1	1.5	0.203
3-2	1.5	0.495
3-3	1.5	0.965

4. 規則波に対する計算結果および考察

4.1. 波高と頂部変位との関係 図1にModel 1-2 ($D = 0.5\text{m}$, $f_s = 0.489\text{Hz}$)に対する計算結果を示す。変位は波高と共に増大し、波高が大きくなると両者の間に線型関係がなくなることがよく分かる。これが抵抗力の影響であることは言うまでもない。図中 $T_w = 6.0\text{sec}$ の結果を特に実線で示したのは、

$f_w/f_s = \frac{1}{3}$ なるときの共振現象を説明するためである。すなわち、基礎式における抵抗力項をフーリエ級数に展開してみると、第2項が基本周波数 $f_w (= 1/T_w)$ の3倍の周波数成分を持ち、しかもその係数が第1項の係数の20%強を示すことが分かる。すなわち

No.	吹送距離 $F (\text{km})$	風速 $V_{10} (\text{m/s})$	半蔵周期 $T_{ws} (\text{sec})$	3有義波高 $H_f (\text{m})$
RW50-10	50	10	5.71	0.91
RW50-20	50	20	6.67	1.85
RW100-10	100	10	6.67	1.37
RW100-20	100	20	8.00	2.25

この第2項目の成分に対し、円柱は共振現象を呈しているのである。

4.2 無次元波高と頂部変位との関係 図2に示す結果によれば、減衰定数と設置水深が与えられれば、頂部の変位は直徑によらず振動数化 f_w/f_s をパラメータとして、無次元波高 H/D によって決定されると思われる。

4.3 振動数化と振動倍率との関係 動的変位量と静的変位量との比を振動倍率 λ と定義し、 λ と振動数化との関係を示したもののが図3である。

$f_w/f_s = 0.33$ 付近から急激に増加しているが、この結果が4.1で述べた共振現象を端的に表していると言えよう。この現象が直徑のいかんにかかわらず、ある程度まで(この意味については、図4の無次元波高と振動倍率との関係を参照されたい)無次元波高の大さと共に顕著になることも図より明らかである。

4.4 波と円柱との相互作用の影響 現在は、 f_w/f_s , H/D をそれぞれ $0.4, 0.274$ としたときの考察しかできない。表4の結果から推察すれば、 H/D が多少大きくなつても、波と円柱との相互作用は無視しても良さそうである。これは浅水領域における波浪応答問題を考えているためと考ふられ、深水領域の場合には別途に検討しなければならないであろう。

4.5 抵抗力項の影響 これについてもあくまでも $f_w/f_s, H/D$ が上述の条件を保つている場合の考察として話を進めれば、波高が円柱の直徑よりも大きい値を示す場合には、基礎式において抵抗力項を省略することは危険であると考えられる。例えば

表4 波と円柱との相互作用および抵抗力項の影響

$\frac{H}{D}$	$U_d (\text{cm})$		誤差 (%)	誤差 (%)
	精密解	相互作用無視		
1.2	0.32	0.32	0.0	0.29
1.8	0.52	0.52	0.0	0.45
3.6	1.30	1.30	0.0	0.97

波高が直徑の3.6倍になると、精密解より34%弱小さき応答量しか評価し得ないものである。

5. 不規則波に対する計算結果および考察 以下の結果はすべて評価時間100秒としたものであり、定常振動時の結果である。また文中の応答スペクトルとは頂部の変位スペクトルを意味する。

5.1 不規則波の特性による応答スペクトルの差異 図5は円柱の固有振動数と波の卓越周波数 f_w が比較的接近した場合の結果である。波のエネルギーが小さいときには、応答スペクトルは固有振動数附近にのみピークを示している⁴⁾。しかし波のエネルギーが増大すると、波の卓越周波

表2 規則波の特性

	周期 $T_w (\text{sec})$	3.0 ~ 10.0
波高 $H (\text{m})$	0.45 ~ 3.15	
浅水化 H/L	0.108 ~ 0.713	

表3 不規則波の特性

No.	吹送距離 $F (\text{km})$	風速 $V_{10} (\text{m/s})$	半蔵周期 $T_{ws} (\text{sec})$	3有義波高 $H_f (\text{m})$
RW50-10	50	10	5.71	0.91
RW50-20	50	20	6.67	1.85
RW100-10	100	10	6.67	1.37
RW100-20	100	20	8.00	2.25

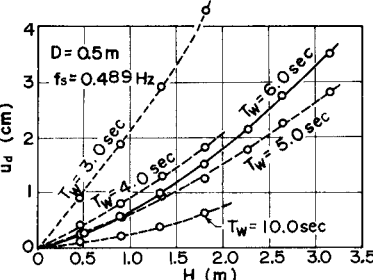


図1 波高と頂部変位との関係

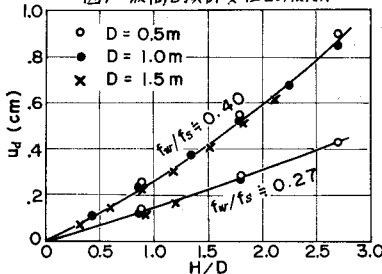


図2 無次元波高と頂部変位との関係

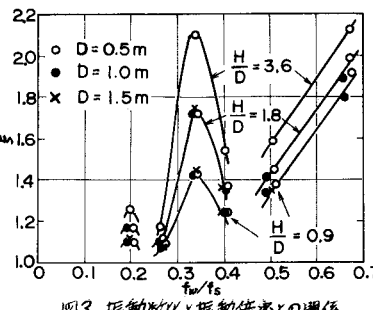


図3 振動数化と振動倍率との関係

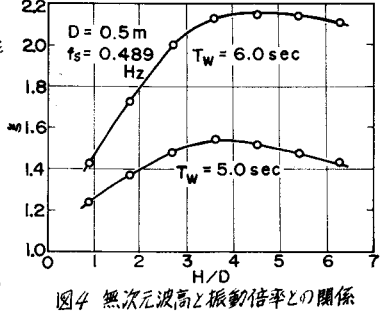


図4 無次元波高と振動倍率との関係

数付近にもさう1つピークが生じ、両結果より周波数特性が波のエネルギーの増加と共に推移していくことが分かる。

5.2 円柱の動特性による応答スペクトルの差異

図6により、同一の不規則波を受ける場合で、固有振動特性により円柱の応答スペクトルの周波数および振幅特性が非常に大きく変化することは明らかである。不規則波の条件および円柱の剛性が等しいのにかかわらず、固有振動数の小さいModel 1/2の変位量が著しく大きくなり、動的解析の重要性を示唆している典型的な一例と言えよう。

5.3 直径の大きさによる応答スペクトルの差異

図7から判断すれば、直径の大きさは応答スペクトルの周波数特性にはほとんど影響しないと推察される。変位量に差異があるのは、剛性の違いによるもので、当然の結果である。

5.4 頂部変位のR.M.S.値 結果を無次元1/3有義波高 H_s/D に対してプロットし、振動数化 f_{wo}/f_s の値を考慮すれば、直径を異にする3つのデータが、ほぼ同一線上に乗ることが判明した。(図9) この結果より、不規則波を受ける円柱の応答量を算定するに際しては、 f_{wo}/f_s 、 H_s/D をパラメーターとして選ぶことが非常に有効であると思われる。

5.5 波と円柱との相互作用の影響 図8の応答スペクトルを見て、表5より判断しても、規則波の場合と同様、浅水領域においては、相互作用が応答に及ぼす影響はほとんどないようである。

5.6 抗力項の影響 図8により、抗力項を無視して計算した応答スペクトルは、特に低周波領域で精密解よりもかなり小さい値を示すことが分かる。これは、低周波領域では水粒子速度が小さくなり、抗力項が応答を増大させる効果を果していることに帰因するものであると考えられる。

変位のR.M.S.値 S_u により精密解との比較を行なったものを表5に示している。これによれば、 $f_{wo}/f_s = 0.26 \sim 0.3$ (柔軟性の大きい海洋構造物)の波浪応答問題として、かなり普遍的な条件である。また、 H_s/D がおよそ2以上の値をとる場合には、抗力項の省略は無理のようである。

6. あとがき 本研究は、当時大阪大学に在学中の瀧尾順一君(現在日本鋼管)の努力によるところ非常に大きであり、ここに深謝の意を表す。さらに大阪大学工学部構木亭教授および同研究室の諸君には多くの有益な助言を賜わった。心から感謝致す次第である。なお計算は阪大計算センターのNEAC 2200/900によった。

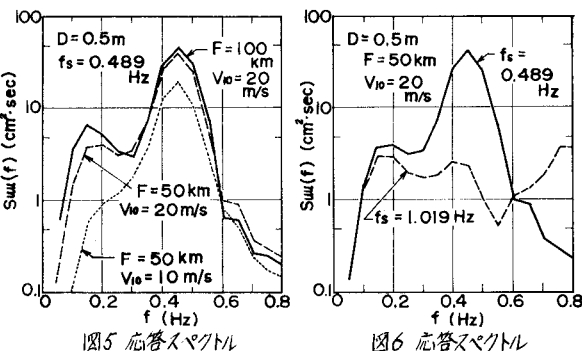


図5 応答スペクトル

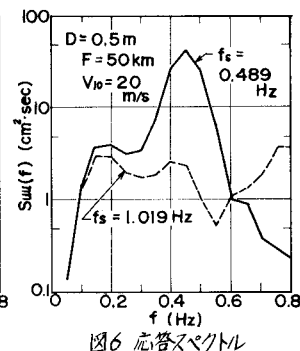


図6 応答スペクトル

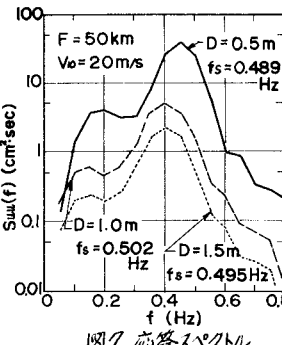


図7 応答スペクトル

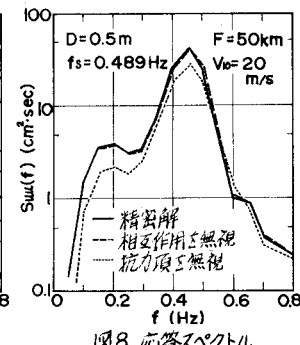


図8 応答スペクトル

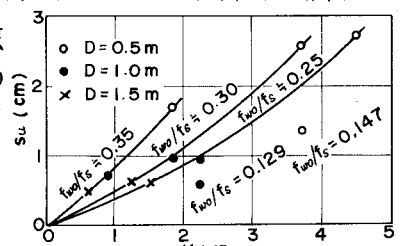


図9 無次元 $\frac{H_s}{D}$ と有義波高に変位のR.M.S.値との関係

表5 波と円柱との相互作用および抗力項の影響

No.	$\frac{H_s}{D}$	S_u (cm)		誤差 抗力項無視 (%)	S_u (cm)	誤差 (%)
		精密解	相互作用無視			
RW50-20	1.23	0.64	0.64	0.0	—	—
RW50-20	1.85	0.97	0.96	1.0	0.90	7.8
RW50-20	3.70	2.56	2.55	0.4	2.12	20.8
RW100-20	4.50	2.73	—	—	1.95	40.0

法) $f_{wo}/f_s = 0.3$ (RW50-20), $f_{wo}/f_s = 0.26$ (RW100-20)

(参考文献) 1) R.W.Cough: Analysis of Structural Vibrations and Dynamic Response, Japan-U.S.Seminar on Matrix Method of Structural Analysis and Design, 1969. 2) N.M.Newmark: A Method of Computation for structural Dynamics, Proc. of ASCE, Vol. 85, No. EM3, July, 1959. 3) 光易 恒: 風波のスペクトルの差違(2), 第17回海岸工学講演会論文集, 1970. 4) 小松定夫, 中山 隆弘: 不規則波力を受ける海中塔状構造物の応答に関する確率論的研究, 土木学会関西支部年次講演会概要集, 1974-5